

М. Фукабори<sup>1</sup>, Т. Аоки<sup>1</sup>, Т. Ватанабе<sup>2</sup>

## Интенсивности и полуширины линий полосы $v_1 + v_3 \text{ } ^{14}\text{N}_2\text{ }^{16}\text{O}$ , уширенных $\text{N}_2$ и $\text{O}_2$ при комнатной температуре

<sup>1</sup> Метрологический исследовательский институт, г. Цукуба,

<sup>2</sup> Торайский исследовательский центр, г. Оцу, Япония

Поступила в редакцию 27.12.2002 г.

Интенсивности и полуширины линий поглощения полосы  $v_1 + v_3$  молекулы  $^{14}\text{N}_2\text{ }^{16}\text{O}$ , уширенных давлением  $\text{N}_2$  и  $\text{O}_2$  при комнатной температуре, были измерены на Фурье-спектрометре высокого разрешения. Квадрат матричного элемента дипольного момента перехода и коэффициенты в факторе Германа–Уоллиса для этой полосы были также определены. Измеренные величины интенсивностей линий ближе к соответствующим значениям, содержащимся в базе данных HITRAN-92, чем к значениям, приведенным в более поздней версии HITRAN-2K. Полуширины линий, уширенных давлением  $\text{N}_2$  и  $\text{O}_2$ , измеренных в этой работе, находятся в хорошем согласии с результатами недавних экспериментов других исследований. Полуширины линий при уширении воздухом были определены по соответствующим значениям для уширения  $\text{N}_2$  и  $\text{O}_2$  методом полиномиальной подгонки.

Закись азота ( $\text{N}_2\text{O}$ ) является важным парниковым газом в атмосфере Земли. Очень сильные инфракрасные полосы в областях 4,5 и 7,78 мкм относятся к основным полосам  $v_3$  и  $v_4$  соответственно. Эти полосы играют важную роль при изучении теплового баланса в земной атмосфере. Дистанционные высокочувствительные измерения  $\text{N}_2\text{O}$  в стрatosфере использованы в стратосферной химии для изучения проблемы, связанной с уменьшением озона. Точное знание параметров линий поглощения, таких как сила линий и полуширины полос поглощения  $\text{N}_2\text{O}$ , необходимо при расчетах пропускания в атмосфере. Несколько баз данных применимы для этой цели. Базы данных HITRAN широко используются для вычисления спектров, но точности содержащихся в HITRAN данных могут быть недостаточными для задач дистанционного зондирования.

Имеются несколько полос поглощения  $\text{N}_2\text{O}$  в области 2,9 мкм: составная полоса  $v_1 + v_3$  с центром 3480,821 см<sup>-1</sup> является наиболее сильной полосой в области 2,9 мкм. Полоса  $v_1 + v_3 \text{ } ^{14}\text{N}_2\text{ }^{16}\text{O}$  исключительно важна при решении задач дистанционного мониторинга температуры. Эта полоса дает вклад в тепловой баланс атмосферы Земли. Обширные экспериментальные исследования [5–14] инфракрасных полос поглощения  $^{14}\text{N}_2\text{ }^{16}\text{O}$  выполнены для определения параметров линий. Величины сил линий и интегральной интенсивности полосы  $v_1 + v_3 \text{ } ^{14}\text{N}_2\text{ }^{16}\text{O}$  приведены в ссылках [9–14]. На основе этих экспериментальных исследований были обновлены спектроскопические базы данных. Однако силы линий в этой полосе не обновлялись, начиная с версии AFCRL [1] вплоть до HITRAN-96. В базе данных HITRAN-96 [2] силы линий этой полосы были скорректированы и те же самые величины были внесены в HITRAN-2K. Для полосы  $v_1 + v_3 \text{ } ^{14}\text{N}_2\text{ }^{16}\text{O}$  силы линий в HITRAN-96, -2K [2, 4], которые основаны на

экспериментах с высоким разрешением [7], примерно на 4% больше тех же величин в HITRAN-92 [3]. Для того чтобы скорректировать данные HITRAN, мы определили силы линий, полуширины линий в полосе  $v_1 + v_3$  при комнатной температуре, уширенные давлением  $\text{N}_2$  и  $\text{O}_2$ . Полученные результаты сравнивались с данными из HITRAN и других литературных источников.

### Экспериментальные детали и анализ данных

Все спектры были измерены на Фурье-спектрометре (Bruker IFS 120HR) с разрешением 0,001 см<sup>-1</sup>. Один спектр был получен для чистого  $\text{N}_2\text{O}$  и четыре спектра для смесей  $\text{N}_2\text{O}$  с  $\text{N}_2$  и  $\text{O}_2$ . Условия эксперимента приведены в табл. 1.

Таблица 1  
Условия эксперимента

P( $\text{N}_2\text{O}$ ), торр	P( $\text{N}_2$ ), торр	P( $\text{O}_2$ ), торр	Темпера- тура, К
15,2	0,0	0,0	297,5 ± 1
15,2	136,8	0,0	297,5 ± 1
15,2	364,8	0,0	297,5 ± 1
15,2	0,0	136,8	297,5 ± 1
15,2	0,0	364,8	297,5 ± 1

Все измерения выполнены в ячейке длиной 8,75 см с ZnSe-окнами при 297,5 К. Температура газа измерена на термопаре, и вариация температуры не превышала 1 К в течение цикла измерений. Давления смесей измерены с помощью MKS-баратрона. Отношение сигнал-шум в спектре составляло более 500.

Нелинейный метод наименьших квадратов был применен для определения сил линий, а также

полуширин линий, уширенных давлением  $N_2$  и  $O_2$ . Контур линий считался фойгтовским. Квадрат матричного элемента дипольного момента и коэффициенты в факторе Германа–Уоллиса определялись методом наименьших квадратов. Силу отдельной линии, измеренной в  $\text{см}^{-1}/(\text{молек}/\text{см}^2)$ , можно записать в виде

$$S_i = \{8\pi^3 \cdot 10^{-36} / [3hcg_V Q_V Q_R]\} \times \\ \times \{v_i f \exp[-(E_V + E_R)hc/kT]\} L_i |R_V|^2 F \times \\ \times [1 - \exp(-hc v_i/kT)], \quad (1)$$

где  $|R_V|^2$  – квадрат матричного элемента дипольного момента,  $D$ ;  $L_i$  – фактор Хёнля–Лондона;  $v_i$  – положение центра линии;  $f = 0,9903$  – относительное содержание  $^{14}\text{N}_2^{16}\text{O}$ ;  $g_V$  – статистический вес уровня;  $Q_V$  и  $Q_R$  – колебательная и вращательная статистические суммы соответственно;  $E_V$  и  $E_R$  – нижние колебательный и вращательный уровни энергии;  $F$  – фактор Германа–Уоллиса ( $F$ -фактор);  $T$  – температура;  $h$  – постоянная Планка;  $k$  – постоянная Больцмана;  $c$  – скорость света в вакууме. Фактор Германа–Уоллиса, который учитывает влияние взаимодействия колебания и вращения на силу линии, дается для  $R$ - и  $P$ -ветвей выражением

$$F(m) = (1 + A_1 m + A_2 m^2)^2, \quad (2)$$

где переменный индекс  $m = J'' + 1$  для  $R$ -ветви и  $-J''$  для  $P$ -ветви;  $J''$  – вращательное квантовое число нижнего состояния.

Измеренные силы линий и полуширины  $\gamma^0$  были приведены к стандартной температуре  $T = 296$  К с помощью следующих соотношений:

$$S(T_s) = S(T) [T Q_V(T) \times \\ \times \exp(-E_R hc/kT)] / [T_s Q_V(T_s) \exp(-E_R hc/kT_s)] \quad (3)$$

и

$$\gamma^0(T_s) = \gamma^0(T) (T/T_s)^n. \quad (4)$$

### Силы линий, полуширины линий, уширенные давлением $N_2$ и $O_2$ , для полосы $v_1 + v_3$ $^{14}\text{N}_2^{16}\text{O}$

$m$	$\nu, \text{ см}^{-1}$	$S, \text{ см}^{-1}/(\text{молек} \cdot \text{см}^{-2})$	$\gamma^0(N_2), \text{ см}^{-1}/\text{атм}$	$\gamma^0(O_2), \text{ см}^{-1}/\text{атм}$
-53	3422,140978	5,497(810)E-22*	0,0804(52)	0,0863(81)
-52	3423,513752	6,473(678)E-22	0,0629(37)	0,0709(175)
-51	3424,876347	8,055(763)E-22	0,0697(30)	0,0691(52)
-50	3426,228598	9,312(998)E-22	0,0724(93)	0,0640(128)
-49	3427,570554	1,161(83)E-21	0,0688(88)	0,0531(63)
-48	3428,900753	1,297(39)E-21	0,0700(21)	0,0601(37)
-47	3430,202512	1,324(51)E-21	0,0740(41)	0,0647(37)
-46	3431,548011	1,796(112)E-21	0,0716(42)	0,0624(45)
-45	3432,846259		0,0682(15)	0,0581(18)
-44	3434,137244	2,711(80)E-21	0,0705(32)	0,0616(44)
-43	3435,418635	3,109(64)E-21	0,0664(26)	0,0653(85)
-42	3436,690154	3,573(14)E-21	0,0705(91)	0,0729(0)
-41	3437,951438	4,189(97)E-21	0,0697(24)	0,0711(166)
-40	3439,202739	4,736(65)E-21	0,0714(13)	0,0606(20)

В выражении (3)  $S(T)$  – измеренная сила линий при  $T$ ;  $S(T_s)$  – сила линий при стандартной температуре  $T_s$ ; величины  $Q_V$  (296 К) = 1,127 и  $Q_V$  (297,5 К) = 1,129 взяты из [15]. В уравнении (4)  $\gamma^0(T)$  – измеренная полуширина при  $T$ ;  $\gamma^0(T_s)$  – полуширина при стандартной температуре. Показатель  $n$  в температурной зависимости полуширины предполагался равным 0,75.

## Результаты и обсуждение

### 1. Силы линий

Не было найдено систематического расхождения между данными для сил линий, полученными из эксперимента по самоширению и уширению давлением  $N_2$  и  $O_2$ . На рис. 1 приведено сравнение измеренных сил линий с величинами из базы данных HITRAN.

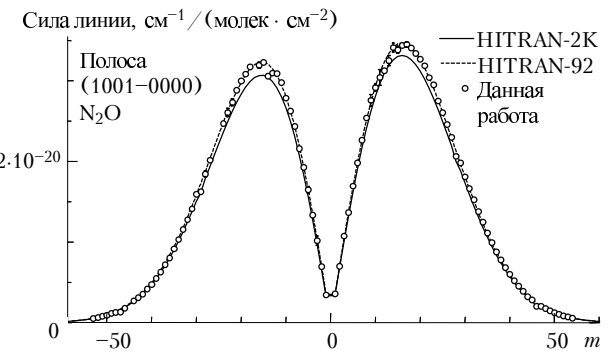


Рис. 1. Сравнение сил линий, измеренных в этой работе, с данными из HITRAN

Силы линий при 296 К приведены в третьем столбце табл. 2. Неопределенности измеренных величин, приведенные в скобках табл. 2, соответствуют стандартному отклонению в единицах последней значащей цифры. Для полосы  $v_1 + v_3$   $^{14}\text{N}_2^{16}\text{O}$  силы линий, полученные нами, хорошо согласуются с величинами в HITRAN-92 [3], которые совпадают с данными AFCRL, но отличаются от данных в HITRAN-96 [3] и HITRAN-96, -2K [4]. Силы линий, приведенные в HITRAN-96, -2K, основаны на результатах недавних экспериментов [7].

Таблица 2

Продолжение табл. 2

<i>m</i>	<i>v</i> , см <sup>-1</sup>	<i>S</i> , см <sup>-1</sup> /(молек · см <sup>-2</sup> )	$\gamma^0(\text{N}_2)$ , см <sup>-1</sup> /атм	$\gamma^0(\text{O}_2)$ , см <sup>-1</sup> /атм
-39	3440,443867	5,516(56)E-21	0,0716(7)	0,0609(12)
-38	3441,674832	6,283(61)E-21	0,0727(11)	0,0620(17)
-37	3442,895575	7,230(97)E-21	0,0733(12)	0,0627(22)
-36	3444,106147	8,060(95)E-21	0,0730(20)	0,0619(25)
-35	3445,306330	9,172(100)E-21	0,0728(15)	0,0619(22)
-34	3446,496494	1,033(67)E-20	0,0733(11)	0,0622(13)
-33	3447,676411	1,158(83)E-20	0,0733(13)	0,0622(15)
-32	3448,846073	1,280(86)E-20	0,0730(9)	0,0616(13)
-31	3450,005372	1,413(75)E-20	0,0742(11)	0,0627(13)
-30	3451,154300	1,596(12)E-20	0,0740(2)	0,0627(17)
-29	3452,295089	1,628(18)E-20	0,0747(0)	0,0628(0)
-28	3453,422192	1,845(37)E-20	—	—
-27	3454,540282	2,018(20)E-20	—	—
-26	3455,648250	—	—	—
-25	3456,745910	—	—	—
-24	3457,833255	2,474(18)E-20	0,0766(24)	0,0649(27)
-23	3458,910279	2,607(50)E-20	0,0748(2)	0,0649(19)
-22	3459,976974	2,733(40)E-20	0,0759(17)	0,0637(11)
-21	3461,033334	2,885(10)E-20	0,0776(10)	0,0664(15)
-20	3462,079353	3,000(18)E-20	0,0780(11)	0,0672(13)
-19	3463,115024	3,087(16)E-20	0,0778(20)	0,0669(22)
-18	3464,140341	3,175(33)E-20	0,0798(22)	0,0677(33)
-17	3465,155298	—	—	—
-16	3466,159890	3,193(39)E-20	—	—
-15	3467,154110	3,230(27)E-20	—	—
-14	3468,137952	3,058(14)E-20		0,0732(38)
-13	3469,111412	3,096(18)E-20	0,0836(25)	0,0726(27)
-12	3470,074484	3,090(19)E-20	0,0839(23)	0,0730(26)
-11	3471,027162	2,979(19)E-20	0,0846(18)	0,0739(22)
-10	3471,969441	2,786(15)E-20	0,0856(17)	0,0748(21)
-9	3472,901316	2,626(26)E-20	0,0887(24)	0,0777(25)
-8	3473,822781	2,434(19)E-20	0,0875(17)	0,0772(20)
-7	3474,733833	2,159(18)E-20	0,0897(18)	0,0789(23)
-6	3475,634465	1,926(17)E-20	—	—
-5	3476,524674	1,649(42)E-20	—	—
-4	3477,404454	1,336(12)E-20	0,0914(0)	—
-3	3478,273802	1,018(57)E-20	0,0917(4)	—
-2	3479,132711	6,943(112)E-21	0,0961(9)	—
-1	3479,981179	3,453(45)E-21	0,0105(0)	—
1	3481,646771	3,576(40)E-21	0,0997(17)	—
2	3482,463887	6,978(16)E-21	0,0100(41)	—
3	3483,270544	1,075(16)E-20	—	—
4	3484,066739	1,367(15)E-20	0,0936(21)	0,0830(23)
5	3484,852467	1,695(14)E-20	0,0904(13)	0,0803(18)
6	3485,627725	1,982(15)E-20	0,0885(10)	0,0779(15)
7	3486,392509	2,264(22)E-20	0,0883(15)	0,0775(19)
8	3487,146815	2,540(12)E-20	0,0839(9)	0,0734(1)
9	3487,890641	2,759(72)E-20	—	—
10	3488,623982	2,916(43)E-20	0,0812(11)	—
11	3489,346835	3,041(97)E-20	0,0813(8)	0,0713(2)
12	3490,059198	3,126(17)E-20	0,0805(26)	0,0703(19)
13	3490,761066	3,251(62)E-20	—	—
14	3491,452437	3,413(55)E-20	—	—
15	3492,133309	3,384(44)E-20	—	—
16	3492,803678	3,439(31)E-20	0,0817(33)	—
17	3493,463542	3,451(34)E-20	0,0819(29)	0,0703(29)
18	3494,112898	3,408(17)E-20	0,0799(22)	0,0690(22)
19	3494,751744	3,339(14)E-20	0,0789(22)	0,0678(23)
20	3495,380077	3,269(26)E-20	0,0798(24)	0,0684(23)
21	3495,997896	3,187(22)E-20	0,0784(26)	0,0668(28)
22	3496,605198	3,041(26)E-20	0,0782(27)	0,0662(32)
23	3497,201981	2,952(18)E-20	0,0761(20)	0,0648(23)
24	3497,788244	2,751(14)E-20	0,0766(26)	0,0646(28)
25	3498,363984	2,607(15)E-20	0,0762(22)	0,0645(24)
26	3498,929201	2,459(10)E-20	0,0754(17)	0,0637(19)

Интенсивности и полуширины линий полосы  $v_1 + v_3$   $^{14}\text{N}_2^{16}\text{O}$ , уширенных  $\text{N}_2$  и  $\text{O}_2$  при комнатной температуре

Окончание табл. 2

<i>m</i>	$\nu, \text{см}^{-1}$	$S, \text{см}^{-1}/(\text{молек} \cdot \text{см}^{-2})$	$\gamma^0(\text{N}_2), \text{см}^{-1}/\text{атм}$	$\gamma^0(\text{O}_2), \text{см}^{-1}/\text{атм}$
27	3499,484073	2,299(12)E-20	0,0753(20)	0,0634(24)
28	3500,029699	2,064(24)E-20	0,0764(26)	0,0644(28)
29	3500,561397	1,981(8)E-20	0,0740(17)	0,0623(20)
30	3501,084707	1,809(12)E-20	0,0741(20)	0,0624(23)
31	3501,597389	1,666(12)E-20	0,0737(19)	0,0621(24)
32	3502,099440	1,526(8)E-20	0,0739(13)	0,0625(15)
33	3502,590962	1,379(8)E-20	0,0731(16)	0,0618(21)
34	3503,071954	1,248(12)E-20	0,0738(11)	0,0624(20)
35	3503,542636	1,113(9)E-20	0,0726(17)	0,0613(26)
36	3504,002627	9,933(82)E-21	0,0724(13)	0,0615(19)
37	3504,452139	8,791(61)E-21	0,0716(14)	0,0606(22)
38	3504,891112	7,793(80)E-21	0,0718(17)	0,0607(25)
39	3505,319596	6,833(69)E-21	0,0715(12)	0,0613(15)
40	3505,737573	5,992(46)E-21	0,0716(14)	0,0608(18)
41	3506,145224	5,210(42)E-21	0,0713(12)	0,0607(16)
42	3506,542291	4,526(68)E-21	0,0708(13)	0,0613(17)
43	3506,929124	3,904(56)E-21	0,0709(8)	0,0614(16)
44	3507,305996	3,216(82)E-21	0,0689(2)	0,0587(3)
45	3507,675229	2,822(43)E-21	0,0698(18)	0,0605(21)
46	3507,996825	2,043(65)E-21	0,0697(11)	0,0611(8)
47	3508,361768	2,040(30)E-21	0,0695(7)	0,0601(14)
48	3508,697869	1,764(39)E-21	0,0704(8)	0,0616(30)
49	3509,021803	1,485(48)E-21	0,0701(16)	0,0627(28)
50	3509,335023	1,235(0)E-21	0,0729(28)	0,0664(112)
51	3509,637472	1,047(0)E-21	0,0752(37)	0,0705(167)
52	3509,929305	8,552(350)E-22	0,0682(2)	0,0625(0)
53	3510,210676	7,092(357)E-22	0,0673(13)	0,0632(28)
54	3510,481420	5,671(398)E-22	0,0657(26)	0,0627(31)

\* Число 5,497(810)E-22 читать как 5,497(810) · 10<sup>-22</sup>, аналогично и другие.

## 2. Квадрат матричного элемента дипольного момента перехода и фактор Германа–Уоллиса

На рис. 2 приведена зависимость квадратов матричного элемента дипольного момента перехода от квантового числа *m* для полосы  $\nu_1 + \nu_3$   $^{14}\text{N}_2^{16}\text{O}$ .

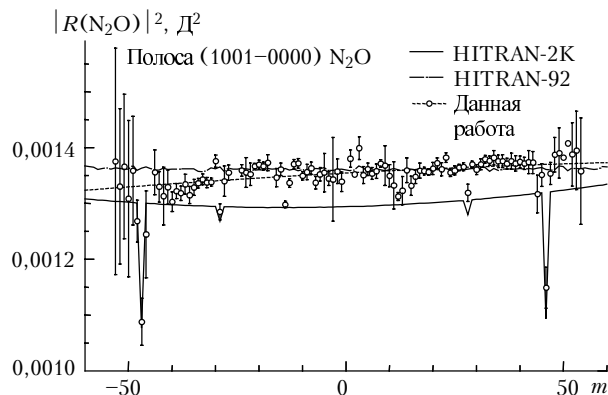


Рис. 2. Зависимость квадрата матричного элемента дипольного момента от вращательного квантового числа *m* для полосы  $\nu_1 + \nu_3$   $^{14}\text{N}_2^{16}\text{O}$

Квадраты матричных элементов дипольных моментов переходов, определенные нами, хорошо согласуются с величинами, вычисленными из сил линий, приведенных в HITRAN-92 [2], однако есть небольшие расхождения между нашими величинами и величинами, приведенными в HITRAN-92. В базе данных HITRAN-92

фактор Германа–Уоллиса не учитывался, и резкого уменьшения сил линий при *m* = -47, -29, 28 и 46 не наблюдалось. С другой стороны, в базе данных HITRAN-2K фактор Германа–Уоллиса учитывался при расчетах сил линий и было отмечено резкое уменьшение сил линий при *m* = -47, -29, 28 и 46.

Почти то же самое уменьшение сил линий имеется в наших данных. В столбце 2 табл. 3 приведены разности квадратов матричных элементов дипольного момента наших данных и данных других экспериментов для  $\nu_1 + \nu_3$  полосы  $^{14}\text{N}_2^{16}\text{O}$ . Наши величины очень близки к величинам, полученным в [8].

Таблица 3  
Квадраты матричных элементов дипольного момента и коэффициенты фактора Германа–Уоллиса для полосы  $\nu_1 + \nu_3$   $^{14}\text{N}_2^{16}\text{O}$

Ссылки	$ R_V(\text{N}_2\text{O}) ^2$ ( $\times 10^{-3} \text{Д}^2$ )	$A_1 \cdot 10^{-4}$	$A_2 \cdot 10^{-6}$
[5]	$1,184 \pm 0,051$	1,85	-3,9
[6]	$1,317 \pm 0,067$	-	-
[7]	$1,292 \pm 0,009$	0,8	2,9
[8]	$1,354 \pm 0,014$	0,8	-2,84
Данная работа	$1,355 \pm 0,002$	1,53	-0,637

Линейные и квадратичные коэффициенты в факторе Германа–Уоллиса были определены из дипольных моментов переходов методом наименьших квадратов. Они приведены в столбцах 3 и 4 табл. 3 для полосы  $\nu_1 + \nu_3$   $^{14}\text{N}_2^{16}\text{O}$ . Следует подчеркнуть, что даже при использовании этих коэффициентов для

вычисления сил линий и/или квадратов матричных элементов дипольных моментов переходов получается значительное расхождение с экспериментальными данными для линий с  $|m| = -47, -29, 28$  и  $46$ . Знаки квадратичных коэффициентов в факторе Германа–Уоллиса, определенные нами, совпадают со знаками, установленными в [5, 8], однако недавние результаты, полученные в [7], приводят к противоположным знакам для этих коэффициентов.

### 3. Полуширины линий, уширенные давлением $N_2$ и $O_2$

На рис. 3 и 4 приведены полуширины линий, уширенные давлением  $N_2$  и  $O_2$  для линий в  $R$ -,  $P$ -ветвях соответственно. Не отмечено систематического расхождения между полуширинами в обеих ветвях.

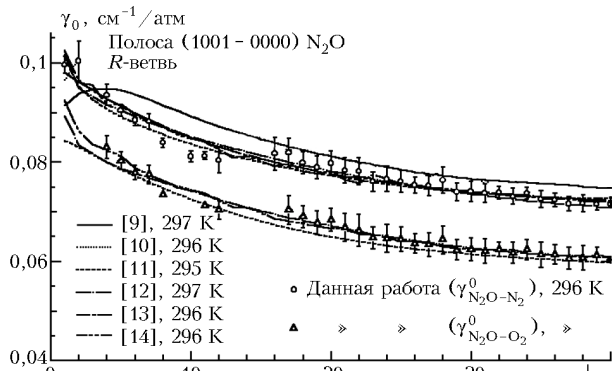


Рис. 3. Полуширины линий, уширенные давлением  $N_2$  и  $O_2$ ,  $R$ -ветви полосы  $\nu_1 + \nu_3 {}^{14}\text{N}_2 {}^{16}\text{O}$

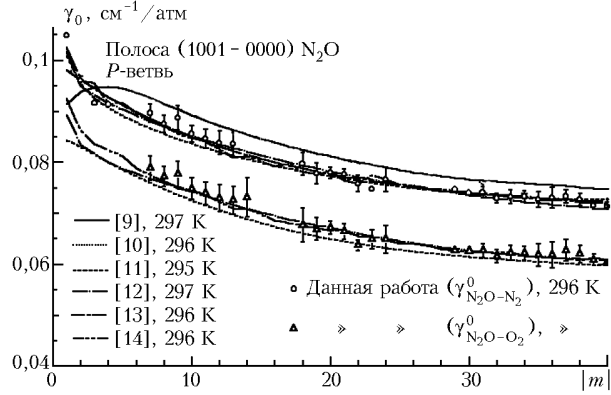


Рис. 4. Полуширины линий, уширенные давлением  $N_2$  и  $O_2$ ,  $P$ -ветви полосы  $\nu_1 + \nu_3 {}^{14}\text{N}_2 {}^{16}\text{O}$

Полуширины линий, уширенные давлением  $N_2$  и  $O_2$  и определенные в этом исследовании, находятся в отличном согласии с результатами последних экспериментальных исследований [11–14]. Эти данные являются основными для полуширин линий, уширенных воздухом в спектроскопической базе данных HITRAN, и хорошо согласуются с последними экспериментальными данными и нашими результатами, исключая линии с  $|m|=12$ . В [11] данные для  $m < 12$  на несколько процентов меньше наших ре-

зультатов. Предыдущие значения, приведенные в [9, 10] для полуширин, на 4–5% больше наших результатов при уширении  $N_2$ . Усредненные значения полуширин были определены методом кубической полиномиальной подгонки

$$\gamma^0(\text{N}_2\text{O} - X) = a_0 + a_1 M + a_2 M^2 + a_3 M^3, \quad (5)$$

где  $M = |m|$ ;  $X$  — буферный газ ( $\text{N}_2$  или  $\text{O}_2$ ). Коэффициенты в приведенном кубическом полиноме, определенные из эксперимента, даны во втором и третьем столбцах табл. 4 для полуширин линий, уширенных давлением  $N_2$  и  $\text{O}_2$  соответственно. Эти коэффициенты определены методом наименьших квадратов для линий с  $|m| = 1 \div 40$ .

Таблица 4

Коэффициенты, полученные для усредненных значений полуширин линий, уширенных давлением  $N_2$ ,  $\text{O}_2$  и воздуха

Коэффициент	$\text{N}_2$	$\text{O}_2$	Воздух
$a_0$	0,1039	0,08958	0,1009
$a_1$	-0,002726	-0,001962	-0,002564
$a_2$	8,661E-5*	5,016E-5	7,883E-5
$a_3$	-9,694E-7	-4,866E-7	-8,659E-7

\* Число 8,661E-5 читать как  $8,661 \cdot 10^{-5}$ , аналогично и другие.

### 4. Полуширины линий, уширенные давлением воздуха

Полуширины линий, уширенных воздухом, которые сравнивались с данными из HITRAN, были определены из усредненных значений полуширин  $\gamma^0(\text{N}_2\text{O} - \text{N}_2)$  и  $\gamma^0(\text{N}_2\text{O} - \text{O}_2)$ :

$$\begin{aligned} \gamma^0(\text{N}_2\text{O} - \text{air}) = & 0,79 \gamma^0(\text{N}_2\text{O} - \text{N}_2) + \\ & + 0,21 \gamma^0(\text{N}_2\text{O} - \text{O}_2). \end{aligned} \quad (6)$$

Коэффициенты в кубическом полиноме для усредненных значений полуширин приведены в четвертом столбце табл. 4. Вычисленные полуширины линий, уширенные воздухом, находятся в хорошем согласии со значениями, приведенными в HITRAN, исключая  $|m|=12$ , одновременно эти же полуширины в наших исследованиях примерно на 4% больше, нежели в HITRAN.

### Выводы

Силы линий, полуширины линий, уширенные давлением  $N_2$  и  $O_2$  в полосе  $\nu_1 + \nu_3 {}^{14}\text{N}_2 {}^{16}\text{O}$ , определены из спектра, зарегистрированного на Фурье-спектрометре при комнатной температуре. Силы линий, полученные нами, находятся в лучшем согласии с базой данных HITRAN-92 [2], нежели с HITRAN-96 [3] и HITRAN-2K [4]. Нами были определены квадраты матричных элементов дипольного момента и коэффициенты в факторе Германа–Уоллиса. Квадраты матричных элементов дипольного момента согласуются с экспериментальными данными [8]. Полуширины

линий, уширенные  $N_2$  и  $O_2$ , также согласуются с экспериментальными данными [12 – 14]. Полуширины линий, уширенные воздухом, получены из усредненных полуширин линий, уширенных  $N_2$  и  $O_2$ , методом кубической полиномиальной подгонки. Эти результаты могут представлять интерес для увеличения точности в спектроскопических базах данных и для дистанционного мониторинга  $N_2O$  и атмосферной температуры, а также в исследованиях термического баланса в околоземных слоях атмосферы Земли.

1. R.A. McClatchey, W.S. Benedict, S.A. Clough, D.E. Burch, R.F. Calfee, K. Fox, L.S. Rothman, and J.S. Garing. AFCRL, Atmospheric Absorption Line Parameters Compilation. AFCRL-TR-0096, AFCRL, Bedford, MA. (1973).
2. L.S. Rothman, R.R. Gamache, A. Goldman, L.R. Brown, R.A. Toth, H.M. Pickett, R.L. Poynter, J.-M. Flaud, C. Camy-Peyret, A. Barbe, N. Husson, C.P. Rinsland, and M.A.H. Smith. The HITRAN Database: 1986 Edition. Appl. Opt., **26**, 4058–4097 (1987).
3. L.S. Rothman, R.R. Gamache, R.H. Tipping, C.P. Rinsland, M.A.H. Smith, D. Chris Benner, V. Malathy Devi, J.-M. Flaud, C. Camy-Peyret, A. Perrin, A. Goldman, S.T. Massie, L.R. Brown, and R.A. Toth, The HITRAN Molecular Database: Edition of 1991 and 1992, J. Quant. Spectrosc. and Radiat. Transfer, **48**, 469–507 (1992).
4. L.S. Rothman, C.P. Rinsland, A. Goldman, S.T. Massie, D.P. Edwards, J.-M. Flaud, A. Perrin, C. Camy-Peyret, V. Dana, J.-Y. Mandin, J. Schroeder, A. Mccann, R.R. Gamache, R.B. Wattson, K. Yoshino, K.V. Chance, K.W. Jucks, L.R. Brown, V. Nemtchinov, and P. Varanasi, The HITRAN Molecular Spectroscopic Database and HAWKS (HITRAN Atmospheric Workstation): 1996 Edition, J. Quant. Spectrosc.
- and Radiat. Transfer, **60**, 665–710 (1998).
5. R.A. Toth, Line Strengths of  $N_2O$  in the 2.9 Micron Region, J. Quant. Spectrosc. and Radiat. Transfer, **40**, 588–604 (1971).
6. R.H. Kagann, Infrared Absorption Intensities for  $N_2O$ , J. Molec. Spectrosc. **95**, 297–305 (1982).
7. R.A. Toth, Line Strengths ( $900\text{--}3600\text{ cm}^{-1}$ ), Self-broadened Linewidths, and Frequency Shifts ( $1800\text{--}2360\text{ cm}^{-1}$ ) of  $N_2O$ , Appl. Opt. **32**, 7326–7365 (1993).
8. L. Regalia, X. Thomas, A. Hamdouni, and A. Barbe, Intensities of  $N_2O$  Measurements in the 4 and 3 mm Region Using Fourier Transform Spectrometer, J. Quant. Spectrosc. and Radiat. Transfer, **57**, 435–444 (1997).
9. R.A. Toth, Self-Broadened and  $N_2$  Broadened Linewidths of  $N_2O$ , J. Mol. Spectrosc. **40**, 605–615 (1971).
10. J.S. Margolis, Intensity and Half Width Measurements of the (0092–0090) Band of  $N_2O$ , J. Quant. Spectrosc. and Radiat. Transfer, **12**, 751–757 (1972).
11. N. Lacome, A. Levy, and G. Guelachvili, Fourier Transform Measurement of Self-,  $N_2$ -, and  $O_2$ -broadening of  $N_2O$  Lines: Temperature Dependence of Linewidths, App. Opt. **23**, 425–435 (1984).
12. A. Henry, M. Margottin-Maclou, and N. Lacome,  $N_2$ - and  $O_2$ -broadening Parameters in the  $v_3$  Band of  $^{14}N_2^{16}O$ , J. Mol. Spectrosc. **111**, 291–300 (1985).
13. R.A. Toth,  $N_2$ - and Air-broadened Linewidths and Frequency-shifts of  $N_2O$ , J. Quant. Spectrosc. and Radiat. Transfer, **66**, 285–304 (2000).
14. V. Nemtchinov, P. Varanasi, and C. Sun, Measurements of Line Intensities and Line Widths in the  $v_3$ -fundamental Band of Nitrous Oxide at Atmospheric Temperatures, J. Quant. Spectrosc. and Radiat. Transfer, (in press).
15. L.D.G. Young, Calculation of the Partition Function for  $^{14}N_2^{16}O$ , J. Quant. Spectrosc. and Radiat. Transfer, **11**, 1265–1270 (1971).

*M. Fukabori, T. Aoki, and T. Watanabe. Line strengths,  $N_2$ -, and  $O_2$ -broadened half-widths in the  $v_1+v_3$  band of  $^{14}N_2^{16}O$  at room temperature.*

Line strengths,  $N_2$ -, and  $O_2$ -broadened half-widths in the  $v_1+v_3$  band of  $^{14}N_2^{16}O$  were determined from spectra obtained by a high-resolution Fourier transform spectrometer at room temperature. The square of the transition dipole moment matrix element and the coefficients of the Herman–Wallis factor were also determined for this band. The values of measured line strengths are close to those of HITRAN92 rather than those of HITRAN96 and HITRAN2K. The  $N_2$ - and  $O_2$ -broadened half-widths measured in this study were in good agreement with the results of the recent high-resolution experiments by other researchers. Air-broadened half-widths were derived from  $N_2$ - and  $O_2$ -broadened half-widths smoothed by a polynomial fit.